

02; 05

© 1991 г.

ИЗЛУЧЕНИЕ БЫСТРЫХ ЗАРЯЖЕННЫХ ЧАСТИЦ В ИЗОГНУТОМ КРИСТАЛЛЕ

B. A. Арутюнов, Н. А. Кудряшов, М. Н. Стриханов, В. М. Самсонов

Рассмотрено излучение, сопровождающее поворот пучков быстрых заряженных частиц с помощью изогнутого кристалла. Впервые получены выражения для интенсивности излучения, представляющего собой интерференцию синхротронного и ондуляторного излучений в изогнутом кристалле, показано, что при $R \rightarrow \infty$ (где R — радиус изгиба кристалла) соответствующие формулы переходят в известные выражения для излучения в прямом кристалле. Рассмотрено дипольное и магнитотормозное излучение в изогнутом кристалле. Выполнены численные расчеты излучения в реалистичном потенциале изогнутых плоскостей для пучков с различными параметрами.

Введение

При повороте пучков быстрых заряженных частиц (БЗЧ) с помощью изогнутого кристалла (ИК) [1-3] возникает специфическое излучение [4], представляющее собой интерференцию синхротронного излучения [5] (движение по криволинейной траектории, определяемой радиусом изгиба кристалла R) и ондуляторного излучения при канализировании [6] (бетатронные колебания канализированных частиц). Эффективные частоты синхротронного $\omega_s = \gamma^3/R$ и ондуляторного излучений ω_m существенно зависят от релятивистского фактора частицы γ , что позволяет применять указанное излучение для идентификации быстрых частиц. С другой стороны, интенсивность синхротронного и ондуляторного излучений в кристалле также существенно зависит от γ . Для легких частиц (электронов и позитронов) излучение в кристалле во много раз превышает обычный «тормозной фон» уже при энергиях $E \geq 1$ ГэВ [6, 7]. Для детектирования излучения более тяжелых частиц (π -мезонов, протонов и т. д.) необходимо, во-первых, использовать более высокие энергии частиц и, во-вторых, пространственно разделить синхротронно-ондуляторное излучение повернутой фракции пучка частиц в ИК и тормозной фон «прямого пучка». Указанные обстоятельства делают перспективным использование излучения в ИК для идентификации частиц ТэВ-ных энергий в SSC и УНК. Важной также является возможность получения с помощью ИК поляризованных пучков частиц высокой энергии [4].

Отметим кратко основные закономерности излучения БЗЧ в прямом кристалле при движении под малым углом $\theta_x \ll 1$ к кристаллографической плоскости [6, 7]. Характер излучения существенно зависит от величины параметра $\rho = 2\gamma^2 \langle v_x^2 \rangle$ [7], где $v_x(x, E_\perp) = \sqrt{(2/E)(E - V(x))}$ — поперечная скорость частицы; $E = \gamma M$ — полная энергия; M — масса (используется система единиц $\hbar = c = 1$); $E_\perp = E_x^2/2$ — поперечная энергия; $V(x)$ — потенциал плоскостей. Излучение является дипольным в случае $\rho \ll 1$, который реализуется при энергиях $\gamma \ll \gamma_0 = M/V_0$ ($V_0 = \max V(x)$ — глубина потенциальной ямы). Например, для (111) плоскостей Si имеем $\gamma_0 \sim 2 \cdot 10^4$ в случае позитронов, $\gamma_0 \sim 6 \cdot 10^6$ в случае π -мезонов. В дипольном случае излучение частиц при больших углах влета $\theta_x \gg \theta_L$ (где $\theta_L = \sqrt{2U_0/\rho v}$ — критический угол канализации)

ния; p, v — импульс и скорость частицы) с хорошей точностью описывается теорией когерентного тормозного излучения (КТИ) [8].

При высоких энергиях $\gamma \gg \gamma_0$ (при $\rho \gg 1$) применим магнитотормозной подход [7], тогда интенсивность излучения выражается через локальные характеристики кристалла. Качественные особенности спектрального распределения излучения при таких энергиях существенно зависят от параметра $\chi_s = \gamma U_0 / M^2 a_s$ [7] (a_s — радиус экранирования атомов кристалла) и угла движения частицы к плоскости. При $\chi_s \ll 1$ и $\theta_x \ll 1/\gamma_0 (E_\perp \ll (\gamma/\gamma_0)U_0)$ максимум спектральной плотности излучения приходится на малые частоты $\omega_{\text{eff}} \sim \gamma^3 W \ll E$, где $W = -(1/E)(-\partial U/\partial x)$ — классическое ускорение в поле плоскостей (осей). Таким образом, в указанном случае излучение в кристалле с хорошей точностью описывается классической теорией. С ростом энергии частицы χ_s увеличивается (например, для позитронов с $E = 250$ ГэВ, движущихся в поле плоскостей кремния $\chi_s \sim 0.25$ [4]) и доля вклада частот $\omega \sim E$ становится заметной, а при $\chi_s \gg 1$ — преобладающей [7, 18]. При этом сечение излучения более чем на порядок превосходит сечение излучения в аморфном теле, что фактически означает соответствующее сокращение радиационной длины. При движении под достаточно большими углами к плоскости $\theta_x \gg \gamma_0^{-1} \gg \theta_L (E_\perp \gg (\gamma/\gamma_0)U_0)$ излучение с хорошей точностью описывается теорией КТИ.

В изогнутом кристалле удобно пучок частиц разделить на неканализованную (прямой пучок) и канализированную фракции (поворнутый пучок) [1–3]. Между этими фракциями существует довольно сложная динамика обмена [9, 10]. Если ограничиться углами изгиба кристалла $\psi \gg \varepsilon_c / M \equiv \gamma_c^{-1}$ (ε_c — глубина потенциальной ямы изогнутых плоскостей), то неканализированные частицы преобладающую часть времени движутся под большими углами ($\gg \gamma_c^{-1}$) к плоскостям и излучают, как уже отмечалось, «в режиме КТИ». Указанное условие на угол изгиба легко выполнимо, так как даже для легких частиц (позитроны, электроны) в ИК кремния ($\varepsilon_c \sim 10$ эВ) имеем $\gamma_c^{-1} \sim 2 \cdot 10^{-4}$.

Канализированные частицы, как отмечалось выше, участвуют в двух движениях. Эффективные спектральные области синхротронного и ондуляторного излучения в ИК достаточно разделены $\omega_s \ll \omega_m$, если когерентная длина синхротронного излучения $l_s \sim R/\gamma$ значительно превосходит продольный период «бетатронных» осцилляций частицы λ_0 [4]. В противоположном случае $l_s \lesssim \lambda_0$ эффективные спектральные области указанных типов излучения перекрываются и разделить их представляется затруднительным [11].

Следует отметить, что в настоящее время отсутствует последовательная теория излучения БЗЧ в ИК. В частности, в работе [11] проведено прямое компьютерное моделирование излучения БЗЧ в ИК. Основным недостатком компьютерного моделирования является то, что в качестве основных расчетных формул в [11] были взяты общие формулы классической электродинамики и численное интегрирование проводилось по всей длине кристалла L , что представляется излишним, так как когерентная длина излучения и продольный период осцилляций обычно много меньше L . Следует поэтому перед численными расчетами произвести некоторое упрощение исходных формул, а также учесть квантовые аспекты излучения частиц высокой энергии.

В настоящей работе получены выражения для интенсивности излучения БЗЧ в ИК. Показано, что при $R \rightarrow \infty$ соответствующие формулы переходят в известные выражения для излучения в прямом кристалле [6, 7]. Рассмотрено дипольное и магнитотормозное излучение БЗЧ в ИК. Выполнены численные расчеты излучения в реалистичном потенциале изогнутых плоскостей для пучков с различными параметрами.

Спектрально-угловое распределение излучения в изогнутом кристалле

Спектрально-угловое распределение энергии, излучаемой ультратрелативистской заряженной частицей со спином $1/2$ и в рамках квазиклассического операторного формализма [7] определяется следующей формулой [7, 12]:

$$d\varepsilon = e^2 \frac{d^3 k}{(2\pi)^2} \int dt_1 \int dt_2 \frac{1}{2E'^2} [(E^2 + E'^2)(v_2 v_1 - 1) + \omega^2 \gamma^{-2}] \exp[ik'^4(x_1^u - x_2^u)], \quad (1)$$

где $k^\mu = k^u E/E'$; $k^\mu = (\omega, \mathbf{k})$ — 4-импульс фотона; $E' = E - \omega$ — энергия частицы после излучения; $x_{1,2}^\mu = (t_{1,2}, \mathbf{r}_{1,2})$; $r_{1,2}$ — координаты частицы в моменты времени $t_{1,2}$; $v_{1,2}$ — скорость частицы в соответствующий момент времени.

Рассмотрим движение частицы в ИК с постоянной кривизной ($R=\text{const}$). Удобно использовать цилиндрические координаты (r, φ, z) с соответствующими ортами $\mathbf{e}_r(\varphi)$, $\mathbf{e}_\varphi(\varphi)$, \mathbf{e}_z . Для простоты рассматриваем движение в плоскости, перпендикулярной оси изгиба кристалла $z=0$. Рассмотрим также для определенности движение канализированной частицы в канале радиуса R_m

$$\dot{\mathbf{r}}(t) = [R_m + x(t)] \mathbf{e}_r(\varphi(t)), \quad (2)$$

$$v(t) = \dot{r}(t) \approx R_m \dot{\varphi} \mathbf{e}_\varphi(\varphi(t)) + v_x \mathbf{e}_r(\varphi(t)), \quad (3)$$

где $v_x = \dot{x}$ — попечная (радиальная) скорость, мы использовали соотношения $d\mathbf{e}_r/d\varphi = \mathbf{e}_\varphi$, $x \ll R_m$.

Из (3) получаем выражения для угловой скорости вращения частицы и угла поворота (здесь и ниже опускаем индекс $R_m \rightarrow R$)

$$\dot{\varphi} \approx \frac{1}{R} \left(v - \frac{v_x^2}{2} \right) \approx \frac{1}{R} \left[V - \frac{1}{2} (v_x^2 - \langle v_x^2 \rangle) \right],$$

$$\varphi \approx \frac{1}{R} [Vt - \Delta(t)],$$

где мы использовали неравенство $v_x \ll v$ и ввели следующие обозначения [7]:

$$V = \frac{1}{T} \int_0^T dt \sqrt{v^2 - v_x^2} \approx v - \frac{1}{2} \langle v_x^2 \rangle$$

— средняя продольная скорость, $\langle v_x^2 \rangle = (1/T) \int_0^T dt v_x^2(t)$ — средний квадрат попечной скорости; $\Delta(t) = \Omega_0 \int_0^t d\xi [v_x^2(\xi) - \langle v_x^2 \rangle]$ [7], T — период колебаний, $\Omega_0 = 2\pi/T$ — частота колебаний.

Следуя подходу Ландау—Померанчука [12], перейдем в (1) к переменным $t = (t_1 + t_2)/2$; $\tau = t_2 - t_1$. Учитывая то, что когерентная длина рассматриваемого излучения ультраквантитативистских частиц много меньше R , проведем в формулах (2), (3) разложения с необходимой точностью:

$$\begin{aligned} \mathbf{e}_r \left(\varphi \left(t \pm \frac{\tau}{2} \right) \right) &\approx \mathbf{e}_r \pm \frac{\tau}{2} \frac{V}{R} \mathbf{e}_\varphi - \frac{\Delta \left(t \pm \frac{\tau}{2} \right)}{2\Omega_0 R} \mathbf{e}_\varphi - \frac{\tau^2}{8} \left(\frac{V}{R} \right)^2 \mathbf{e}_r \mp \frac{\tau^3}{48} \left(\frac{V}{R} \right)^3 \mathbf{e}_\varphi + \dots, \\ \mathbf{e}_\varphi \left(\varphi \left(t \pm \frac{\tau}{2} \right) \right) &\approx \mathbf{e}_\varphi \mp \frac{\tau}{2} \frac{V}{R} \mathbf{e}_r + \frac{\Delta \left(t \pm \frac{\tau}{2} \right)}{2\Omega_0 R} \mathbf{e}_r - \frac{\tau^2}{8} \left(\frac{V}{R} \right)^2 \mathbf{e}_\varphi + \dots. \end{aligned} \quad (4)$$

В правых частях (4) $\mathbf{e}_{\tau, \varphi} \equiv \mathbf{e}_{\tau, \varphi}(Vt/R)$. Используя (4), получим из (1)

$$\begin{aligned} dE(n, \omega) &= e^2 \frac{d^3 k}{(2\pi)^2} (1+u) \int dt \int d\tau \left\{ -\gamma^{-2} + \left[1 + \frac{u^2}{2(1+u)} \right] \times \right. \\ &\times \left[-\frac{\tau^2}{2R^2} + v_{x_1} v_{x_2} - \frac{1}{2} (v_{x_1}^2 + v_{x_2}^2) \right] \exp \left\{ (-i\omega') \left[\tau(1-nV) + \frac{\tau^3}{24R^2} \right] \right\} \times \\ &\times \exp \left\{ (-i\omega') \left[a_+(\tau) x_2 - \frac{\Delta_2}{2\Omega_0} - a_-(\tau) x_1 + \frac{\Delta_1}{2\Omega_0} \right] \right\}, \end{aligned} \quad (5)$$

где $n = k/\omega$ — направление излучения; $u = \omega/E - \omega$; $v_{x_{1,2}} \equiv v_x(t_{1,2})$; $V \equiv V \mathbf{e}_\varphi$; $a_\pm = n \mathbf{e}_r \pm (n \mathbf{e}_\varphi) \tau / 2R$; $x_{1,2} \equiv x(t_{1,2})$; $\Delta_{1,2} \equiv \Delta(t_{1,2})$.

Используя периодичность функций $x(t)$, $v_x(t)$, $\Delta(t)$ и считая продольный период осцилляций частицы в канале $\lambda_0 \approx vT$ достаточно малым $\lambda_0 \ll R$, полу-

чим из (5) с хорошей точностью для интенсивности излучения следующую формулу:

$$dI(\mathbf{n}, \omega) = e^2 \frac{d^3 k}{(2\pi)^2} (1+u) \sum_{m=-\infty}^{\infty} \left\{ \int_{-\infty}^{\infty} d\tau \exp \left\{ (-i\omega') \left[\tau(1-nV) - \frac{\Omega_0 m}{\omega'} + \frac{\tau^3}{24R^2} \right] \right\} \right. \\ \times \left\{ - \left[\gamma^{-2} + \frac{\tau^2}{2R^2} \left(1 + \frac{u^2}{2(1+u)} \right) \right] f_{+m}^{(0)*}(\tau) f_{-m}^{(0)}(\tau) + \left(1 + \frac{u^2}{2(1+u)} \right) \left[\overline{f_{+m}^{(1)*}(\tau)} f_{-m}^{(1)}(\tau) - \right. \right. \\ \left. \left. - \frac{1}{2} (f_{+m}^{(2)*}(\tau) f_{-m}^{(0)}(\tau) + f_{+m}^{(0)*}(\tau) f_{-m}^{(2)}(\tau)) \right] \right\}, \quad (6)$$

где

$$f_{\pm m}^{(l)}(\tau) = \Omega_0 \int_0^T dt [v_x(t)]^l \exp \left\{ i\Omega_0 m - \omega' \alpha_{\pm}(\tau) x(t) + \frac{\omega' \Delta(t)}{2\Omega_0} \right\}. \quad (7)$$

Формула (6) совпадает при $x(t)=0$, $u \ll 1$ с известным выражением для синхротронного излучения при движении УЗЧ по окружности [7, 12]. С другой стороны, при $R \rightarrow \infty$ формула (6) совпадает с соответствующей формулой для излучения в прямом кристалле [7]. В отличие от прямого кристалла [6, 7], где в силу законов сохранения продольного к плоскости импульса и энергии суммирование производится лишь по $m \geq 1$, в ИК суммирование в формуле (6) осуществляется по $m \leq 0$.

Заметим в заключение, что, проделав аналогичные выкладки, нетрудно убедиться, что при условии $\lambda_0 \ll R$ (λ_0 — продольный период движения) формула (6) справедлива и для неканализированных частиц.

Дипольное и магнитогоризонтное излучение в изогнутом кристалле

Рассмотрим сначала дипольный случай $\rho \ll 1$, реализующийся при энергиях $\gamma \ll \gamma_c$.¹ Производя соответствующие разложения в экспонентах (7) и подставляя в (6), получим

$$dI(\mathbf{n}, \omega) = dI_s + \sum_{m \neq 0} dI_m. \quad (8)$$

Здесь

$$dI_s(\mathbf{n}, \omega) = e^2 \frac{d^3 k}{(2\pi)^2} 4 \sqrt{\frac{2}{3}} \frac{(1-nV)^{1/2}}{W_s} [4(1-nV) - \gamma^{-2}] \times \\ \times K_{1/2} \left(\frac{4\sqrt{2}}{3} (1-nV)^{1/2} \frac{\omega}{W_s} \right) \quad (9)$$

— интенсивность синхротронного излучения [7, 5], $W_s = 1/R$ — центростремительное ускорение, $K_{1/2}(z)$ — функция Макдональда, dI_m — интенсивность m -й гармоники ондуляторного излучения

$$dI_m(n, \omega) = e^2 \frac{d^3 k}{\pi} \omega \gamma^{-4} \frac{|W_m|^2}{(\Omega_0 \cdot m)^4} x_s^{-1/2} \left\{ Ai'(z_m) + Ai(z_m) \times \right. \\ \left. \times \left[4z_m^2 + z_m x_s^{-1/2} (2\gamma^2 (n e_r)^2 - 1) + x_s^{-1/2} \left(\frac{x_m^{-2}}{4} - \gamma^2 (n e_r)^2 \right) \right] \right\}, \quad (10)$$

где

$$W_m = \frac{1}{T} \int_0^T dt \exp(i\Omega_0 \cdot m \cdot t) \left(-\frac{1}{E} \frac{\partial U_{\text{eff}}}{\partial x} \right) = \frac{w_m}{\gamma \gamma_c},$$

$$w_m = \frac{1}{x(y)} \int_{s_1}^{s_2} \frac{ds}{\sqrt{y - u_{\text{eff}}(s)}} \left(-\frac{\partial U_{\text{eff}}}{\partial s} \right) \exp \left[i \frac{2\pi m}{x(y)} \int_{s_1}^s \frac{dv}{\sqrt{y - u_{\text{eff}}(v)}} \right]$$

Заметим, что в дипольном случае эффективные частицы излучения $\omega_{\text{eff}} \ll E$ и результаты (6) при $u \ll 1$ и (8) — (10) могут быть получены с помощью классической электродинамики, что расширяет их применимость и на частицы со спином, не равным 1/2.

— Фурье-компоненты ускорения частицы, $u_{\text{eff}} = U_{\text{eff}}/\varepsilon_c = [U(x) - pvx/R]/\varepsilon_c$, $s = x/d$, d — межплоскостное расстояние, $s_{1,2}$ — точки поворота, $y = E_{\perp}/\varepsilon_c$, $x(y) = \int_{s_1}^{s_2} ds / \sqrt{y - u_{\text{eff}}(s)}$ — «безразмерный» полупериод колебаний (для неканализированных частиц $\chi(y) = \int_0^1 ds / \sqrt{y - u_{\text{eff}}(s)}$ — период движения).

В формуле (3.3) $Ai(z)$, $Ai'(z)$ — функция Эйри и ее производная; $z_m = x_s^{2/3} [2\gamma^2(1 - nV) - x_m^{-1}]$; $x_s = \omega/\omega_s$; $x_m = \omega/\omega_m$; $\omega_s = \gamma^3/R$ — характеристическая частота синхротронного излучения; $\omega_m = 2\gamma^2 m \Omega_0 = m \cdot \omega_0$ — характеристическая частота излучения m -й гармоники ондуляторного излучения; $\omega_0 = 2^{5/2} \pi \gamma^{3/2} / [2\gamma^{1/2} \chi(y) d]$ (для неканализированных частиц $\omega_m = 2m\omega_0$).

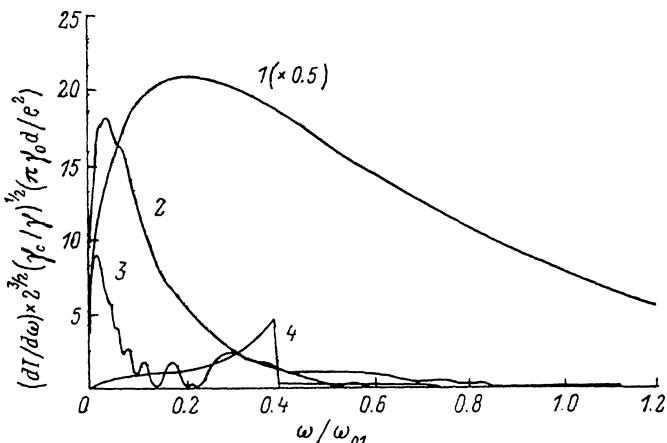


Рис. 1. Спектральное распределение дипольного излучения (формула (11)) в поле (111) плоскостей ИК кремния.

$$\omega_0 = 2^{5/2} \pi \gamma^{3/2} / \gamma_c^{1/2}, \quad d, \quad \gamma/\gamma_c = 0.1, \quad E_{\perp}/\varepsilon_c = 0.5; \quad R/R_c = 2 (1), 5 (2), 10 (3), 4 \cdot 10^3 (4).$$

Интегрируя (8) — (10) по углам излучения, получим спектральное распределение излучения

$$\frac{dI}{d\omega} = \frac{e^2}{\pi d \gamma_0} \left\{ \frac{B}{\sqrt{3}} \frac{R_c}{R} \zeta_s \int_{-\frac{2}{3} \zeta_s}^{\infty} K_{n_s}(\xi) d\xi + 2^{-s/2} \left(\frac{\gamma}{\gamma_c} \right)^{1/2} \frac{\varepsilon_c}{U_0} \sum_{m \neq 0} \chi(y) x_0 \frac{|w_m|^2}{m^2} \times \right. \\ \left. \times \left[\left(1 - 2 \frac{x_0}{m} + 2 \frac{x_0^2}{m^2} \right) Ai_1(\xi_m) + 4x_s^{-s/2} \frac{x_0}{m} \left(1 - \frac{x_0}{m} \right) Ai'(\xi_m) + 16x_s^{-s/2} \frac{x_0^2}{m^2} Ai(\xi_m) \right] \right\}, \quad (11)$$

где $\gamma_0 = M/U_0$, $B = |\nabla U_{\max}| d/U_0$, ∇U_{\max} — максимальный градиент межплоскостного потенциала в прямом кристалле, $R_c = \gamma M / |\nabla U_{\max}|$ — критический радиус

Цыганова [1, 13], $x_0 = \omega/\omega_0$, $\zeta_m = x_s^{2/3} (1 - m/x_0)$, $Ai_1(z) = \int_z^{\infty} Ai(\xi) d\xi$.

Первое слагаемое в фигурных скобках (11) описывает «чистое» синхротронное излучение, в то время как второе слагаемое отвечает ондуляторному излучению.

На рис. 1, 2 приведены результаты численных расчетов спектрального распределения излучения положительно заряженных частиц по формуле (11) в поле изогнутых (111) плоскостей Si ($B \approx 0.72$) в случае $\gamma = \gamma_c = 0.1$; $E_{\perp}/\varepsilon_c = e/2$ для различных радиусов изгиба кристалла $R/R_c = 2$ (рис. 1, кривая 1); $R/R_c = 5$ (кривая 2); $R/R_c = 10$ (кривая 3), $R/R_c = 20$ (рис. 2, кривая 1); $R/R_c = 4 \cdot 10^3$ (рис. 1, кривая 4; рис. 2, кривая 2). Межплоскостной потенциал вычислялся «методом Фурье-синтеза» компонент по обратным векторам решетки [14], атомные формфакторы были взяты из [17]. Спектр излучения в сильноизогнутом кристалле

(рис. 1, кривая 1) с хорошей точностью совпадает со спектром синхротронного излучения (ондуляторная часть излучения мала). При увеличении радиуса изгиба синхротронная часть излучения уменьшается, а ондуляторная часть становится более заметной (кривая 2), при дальнейшем росте R/R_c синхротронная и ондуляторная части излучения становятся сравнимыми по амплитуде, заметны характерные осцилляции в спектре (кривая 3). При больших значениях R/R_c преобладает ондуляторная часть излучения, период осцилляций уменьшается (рис. 2, кривая 1), в пределе $R/R_c \rightarrow \infty$ спектр излучения переходит в известный спектр дипольного излучения в прямом кристалле (рис. 1, кривая 4; рис. 2, кривая 2).

Для отношения характерных частот синхротронного и ондуляторного излучения в ИК имеем следующую оценку:

$$\frac{\omega_s}{\omega_0} = \frac{2^{3/2}\pi}{x(y)} B \cdot \frac{R}{R_c} \cdot \left(\frac{\gamma_c}{\gamma} \right)^{1/2} \frac{U_0}{\epsilon_c}. \quad (12)$$

Отсюда для рассматривавшегося ИК кремния имеем обычно $\omega_0 > \omega_s$, т. е. эффективные спектральные области синхротронного и ондуляторного излучений несколько «разнесены».

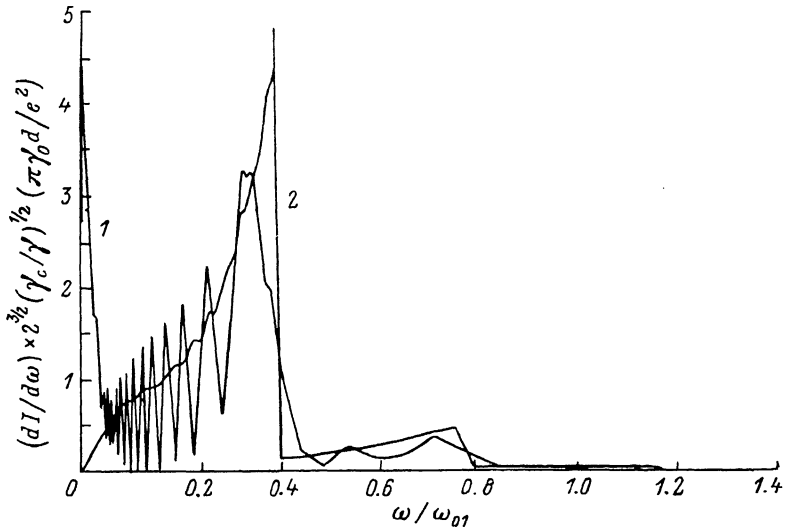


Рис. 2. То же, что на рис. 1.

$R/R_c = 20$ (1), $4 \cdot 10^3$ (2).

Приведем асимптотические выражения для спектра ондуляторного излучения при условии $\omega_s \ll \omega_0$. В этом случае в формуле (11) можно считать $|\xi_m| \gg 1$. Поведение m -й гармоники ($m > 0$) ондуляторного излучения $dI_m/d\omega$ существенно зависит от соотношения между ω и $\omega_m = m\omega_0$. При $\omega < \omega_m$ ($m/\omega_0 > 1$, $\xi_m < 0$), подставляя асимптотические разложения функций $Ai_1(\xi_m)$, $Ai(\xi_m)$, $Ai'(\xi_m)$ [18] в формулу (11), получим

$$\begin{aligned} \frac{dI_{m>0}}{d\omega} \approx & \frac{e^2}{\pi d} \frac{\gamma^{1/2}}{(2\gamma_c)^{3/2}} \times (y) \xi_m^{3/2} \frac{|w_m|^2}{m^2} \left\{ (1 - 2\xi_m + 2\xi_m^2) - \right. \\ & \left. - \left(\frac{\omega_s}{\pi m \omega_0} \right)^{1/2} \frac{[5(1 - \xi_m)^2 + \xi_m^2]}{(1 - \xi_m)^{3/4}} \cos \left[\frac{2}{3} \left(\frac{m\omega}{\omega_s} \right) \frac{(1 - \xi_m)^{3/2}}{\xi_m^{1/2}} + \frac{\pi}{4} \right] \right\}, \end{aligned} \quad (13)$$

где первое слагаемое в фигурных скобках соответствует m -й гармоники дипольного излучения в прямом кристалле ($R/R_c \rightarrow \infty$) [6], а второе слагаемое является осциллирующей добавкой.

При $\omega > \omega_m$ ($m/\omega_0 < 1$, $\xi_m > 0$) спектр m -й гармоники экспоненциально затухает

$$\frac{dI_m}{d\omega} \approx \frac{e^2}{2^{3/2}d} \frac{\gamma^{1/2} (y) \xi_m^{3/4}}{(\pi \gamma_c)^{3/2} m^2} \frac{[5(\xi_m - 1)^2 + \xi_m^2]}{(\xi_m - 1)^{3/4}} \exp \left[-\frac{2}{3} \left(\frac{m\omega_0}{\omega_s} \right) \frac{(\xi_m - 1)^{3/2}}{\xi_m^{1/2}} \right], \quad (14)$$

т. е. при $R/R_c \rightarrow \infty$ спектр излучений m -й гармоники дипольного излучения «обрывается» при $\omega = \omega_m$ [6]. Спектр излучения «отрицательных гармоник» ($m < 0$) при $\omega_s \ll |m| \omega_0$ дается формулой (14), т. е. экспоненциально затухает во всей области частот.

Для вычисления полной интенсивности излучения проще всего поступить следующим образом. Из классической теории излучения [5-7] следует, что локальная интенсивность излучения (принтегрированная по частотам) в поле $U(x)$ равна $I(x) = 2e^2\gamma^2 [\nabla U(x)]^2 / 3M^2$. Усредняя по периоду колебаний, получим полную интенсивность излучения канализированной частицы с поперечной энергией $E_\perp = y_e$,

$$I(E_\perp) = \frac{1}{\chi(y)} \int_{s_1}^{s_2} \frac{ds}{\sqrt{y - u_{\text{eff}}(s)}} \frac{2}{3} \frac{e^2 \gamma^2 \epsilon_c^2}{d^2 M^2} \left(\frac{\partial u_1}{\partial s} \right)^2 = I_s + I_u, \quad (15)$$

где $I_s = (2/3)(e^2 \gamma^4 / R^2)$ — полная интенсивность синхротронного излучения, $u_1(s) \equiv U(x)/U_0$,

$$I_u = \frac{2}{3} \frac{e^2 \epsilon_c^2}{M^2 d^2} \frac{1}{\chi(y)} \int_{s_1}^{s_2} \frac{ds}{\sqrt{y - u_{\text{eff}}(s)}} \left(\frac{\partial u_{\text{eff}}}{\partial s} \right)^2 \quad (16)$$

— интенсивность ондуляторного излучения в эффективном потенциале ИК.

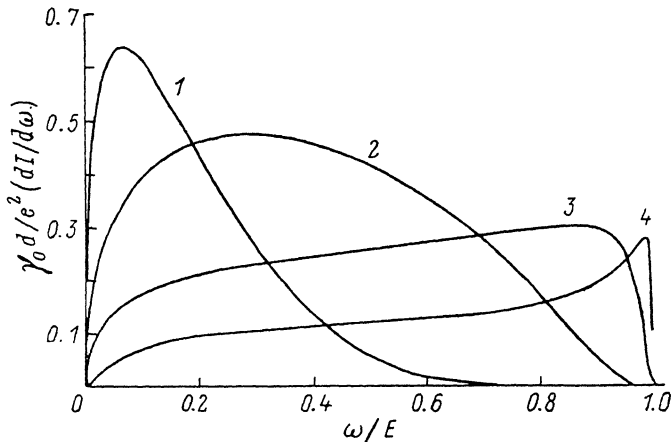


Рис. 3. Спектральное распределение магнитотормозного излучения (формула (17)) в поле (111) плоскостей ИК кремния.

$$R/R_c = 10, E_\perp/\epsilon_c = 0.5.$$

Разумеется, результат (15), (16) может быть получен из формулы (10) интегрированием по частотам. Таким образом, имеем по порядку величины $I_s/I_u \sim \sim B^2 (R_c/R)^2 (U_0/\epsilon_c)^2$.

Рассмотрим теперь противоположный недипольный случай $\rho \gg 1$, реализующийся в основном ($E_\perp \geq \epsilon_c$) при энергиях $\gamma \gg \gamma_c$. При этом фаза в интегралах (7) велика и можно использовать методы асимптотического интегрирования. Основной вклад в излучение дают при этом гармоники с большими $m_{\text{eff}} \sim \rho^2 \gg 1$, излучение носит магнитотормозной характер и определяется локальными характеристиками кристалла (напряженностью поля) [7]. Проще, однако, исходить из общей формулы (1), с помощью которой после необходимых разложений получаем для усредненной по периоду движения интенсивности излучения следующую формулу [7]:

$$dI = \frac{e^2 M^2}{\pi \sqrt{3}} \frac{udu}{(1+u)^3} \frac{1}{\chi(y)} \int_{s_1}^{s_2} \frac{ds}{\sqrt{y - u_{\text{eff}}(s)}} \left[\frac{2}{3} \int_{\frac{u}{\chi}}^{\infty} K_{l_s}(\xi) d\xi + \frac{u^2}{(1+u)} K_{l_s}\left(\frac{2}{3} \frac{u}{\chi}\right) \right], \quad (17)$$

где $\chi = \gamma |\partial U/\partial x| / M^2 = \chi_0 |\partial u_1/\partial s|$; $\chi_0 = \gamma U_0 / M^2 d$.

На рис. 3 представлены результаты численных расчетов спектральных распределений излучения ультрарелятивистских позитронов в поле изогнутых к (111) плоскостей Si при $R/R_c=10$; $E_\perp=\epsilon_c/2$ для различных значений параметра χ_0 : $\chi_0=0.06$ (чему соответствует значение $\gamma=10^6$) (кривая 1), $\chi_0=0.6$ (кривая 2), 6 (кривая 3), 60 (кривая 4). Видно, как уже отмечалось, что при малых χ_0 максимум спектра приходится на малые частоты $\omega_{\text{eff}} \ll E$, при росте χ_0 эффективные значения $\omega_{\text{eff}} \sim E$, а при больших $\chi_0 \gg 1$ имеется характерный максимум на конце спектра (см., например, [18]).

Заметим, что интенсивность излучения частиц повернутой части пучка (11), (17) существенно зависит от поперечной энергии частиц. Многократное рассеяние заряженных частиц в кристалле, как известно, приводит к эволюции с глубиной функции распределения по поперечным энергиям [9-10]. Ограничивааясь случаем не очень высоких энергий $\chi \ll 1$, когда потери энергии реализуются «малыми порциями», можно получить для функции распределения канализированных частиц $\varphi(t, E_\perp, \Delta)$ кинетическое уравнение, аналогичное уравнению, описывающему ионизационные потери в кристалле [19],

$$\frac{\partial \varphi(t, E_\perp, \Delta)}{\partial t} = \frac{\partial}{\partial E_\perp} \left[TD \frac{\partial}{\partial E_\perp} \left(\frac{\varphi}{T} \right) \right] + \frac{\partial}{\partial E_\perp} (A\varphi) + \int d\omega w(E_\perp, \omega) [\varphi|_{\Delta-\omega} - \varphi|_\Delta], \quad (18)$$

где $\Delta=E-E'$ — потери энергии;

$$D = \frac{P^2 v}{4} \left\langle v_x^2 \frac{\Delta \theta^2(x)}{\Delta s} \right\rangle$$

— коэффициент диффузии в пространстве поперечной энергии вследствие MP; $\Delta \theta^2(x)/\Delta s$ — средний квадрат угла MP, равный сумме вкладов от рассеяния на колеблющихся ядрах и электронах кристалла; $A=(2/pv) \langle I(x) \times [E_\perp - U_{\text{eff}}(x)] \rangle$ — коэффициент, описывающий дрейф $E_\perp \rightarrow 0$; $\langle \dots \rangle = (1/T) \int dx/v_x(\dots)$ означает усреднение по периоду осцилляций; $w(E_\perp, \omega) = (1/\omega)(dI/d\omega)$ — соответствующая вероятность излучения.

Аналогичное уравнение можно получить для функции распределения неканализированных частиц [9, 19].

Список литературы

- [1] Водопьянов А. С., Головатюк В. М., Елишев А. Ф. и др. // Письма в ЖЭТФ. 1979. Т. 30. Вып. 8. С. 474—477.
- [2] Андреев В. А., Баублис В. В., Дамаскинский Е. А. и др. // Письма в ЖЭТФ. 1982. Т. 36. Вып. 9. С. 340—343.
- [3] Сумбаев О. И. // ЖТФ. 1987. Т. 57. Вып. 11. С. 2067—2077.
- [4] Bashmakov Yu. A. // Rad. Eff. 1981. Vol. 56. P. 55—58.
- [5] Ландау Л. Д., Либшиц Е. М. Теория поля. М.: Наука, 1973.
- [6] Китакхов М. А. // Phys. Lett. 1976. Vol. A57. P. 17—19.
- [7] Байер В. Н., Катков В. М., Страховенко В. М. Электромагнитные процессы при высоких энергиях в ориентированных монокристаллах. Новосибирск: Наука, 1989.
- [8] Тер-Микаелян М. Л. Влияние среды на электромагнитные процессы при высоких энергиях. Ереван, 1969.
- [9] Кудряшов Н. А., Петровский С. В., Стриганов М. Н. // ЖТФ. 1989. Т. 59. Вып. 4. С. 68—73.
- [10] Белошицкий В. В., Старостин В. А. // Письма в ЖТФ. 1988. Т. 14. Вып. 8. С. 722—726.
- [11] Taratin A. M., Vorobiev S. A. // Nucl. Instr. Meth. 1988. Vol. B31. P. 551—554. 1989. Vol. B42. P. 41—44.
- [12] Берестецкий В. В., Либшиц Е. М., Питаевский Л. П. Квантовая электродинамика. М.: Наука, 1980.
- [13] Каплин В. В., Воробьев С. А. // Письма в ЖТФ. 1978. Т. 4. Вып. 4. С. 196—199.
- [14] Каган Ю., Кононец Ю. В. // ЖЭТФ. 1970. Т. 58. Вып. 1. С. 226—244.
- [15] Ахисер А. И., Шульга Н. Ф. // УФН. 1982. Т. 137. № 5. С. 561—602.
- [16] Рыжик И. М., Градштейн И. С. Таблицы сумм, интегралов и рядов. М.: Наука, 1974.
- [17] Doyle P. A., Turner P. S. // Acta Crystallogr. 1968. Vol. A34. P. 394—397.
- [18] Belcasem A., Bologna G., Chevallier M. et al. // Phys. Lett. 1988. Vol. B 206. P. 561—566.
- [19] Арутюнов В. А., Кудряшов Н. А., Стриганов М. Н. // Ядерная физика. 1989. Т. 50. № 8. С. 330—334.